



Projet national de recherche et développement

**RAPPORT DE RECHERCHE / LIVRABLE**

**Modèles probabilistes de dimensionnement des chaussées**

Auteur / Organisme :

Tristan LORINO / Ifsttar

Thème de rattachement :

Thème 3

« Évaluation de la durée de vie résiduelle des chaussées »

Numéro de rapport : 3 (v2)

Lettre de commande n° LC/18/DVDC/55

25/05/20

Site internet : [www.dvdc.fr](http://www.dvdc.fr)

Plateforme collaborative : [www.omnispace.fr/dvdc](http://www.omnispace.fr/dvdc)

Président : Dominique JAUMARD

Directeurs : Eric LAYERLE et Christine LEROY

Gestion administrative et financière : IREX ([www.irex.asso.fr](http://www.irex.asso.fr)), 9 rue de Berri 75008 PARIS, [contact@irex.asso.fr](mailto:contact@irex.asso.fr)

# Sommaire

---

<b>1</b>	<b>Introduction</b> . . . . .	<b>3</b>
<b>2</b>	<b>Modèle mécanico-empirique de conception des chaussées</b> . . . . .	<b>5</b>
<b>3</b>	<b>Guide technique de conception et dimensionnement des chaussées</b> . . . . .	<b>10</b>
<b>4</b>	<b>Variations</b> . . . . .	<b>18</b>
<b>5</b>	<b>Conclusions</b> . . . . .	<b>22</b>
<b>A</b>	<b>Références</b> . . . . .	<b>24</b>
<b>B</b>	<b>Code R</b> . . . . .	<b>25</b>

## 1. Introduction

---

### 1.1 Objectif

L'objectif du présent rapport est d'identifier, dans la modélisation mécanique du dimensionnement des chaussées, les paramètres qui influent le plus sur les recommandations finales pour la conception des différentes couches de la chaussée. Il introduit, sous forme de simulations, une variabilité concernant plusieurs composantes d'entrée du modèle de dimensionnement, afin de quantifier les sources prépondérante de variabilité en sortie du modèle, et d'analyser la concordance entre les recommandations issues du Guide de dimensionnement et la variabilité observée pour la conception des différentes couches.

Le premier livrable rédigé dans le cadre du thème 3 de DVDC s'intéressait à la prise en compte de la variabilité des données relatives à l'entretien routier, avec notamment deux approches différentes : la régression non linéaire mixte et les modèles d'apprentissage automatique. Le présent document s'intéresse à la prise en compte de la variabilité dans une phase plus amont : celle de la conception même de la structure de chaussée.

### 1.2 Modèles mécaniques

Ce document est destiné à analyser la variabilité intrinsèque au calcul de dimensionnement d'une chaussée. Deux types de modèles sont étudiés :

- ▶ un modèle dit « mécaniste-empirique », qui se focalise sur la modélisation de la fatigue de la chaussée [8] ;
- ▶ le modèle issu du guide français de dimensionnement des chaussées.

Le choix des paramètres d'entrée à faire varier repose sur des considérations pratiques, et la présente analyse peut être étendue en incluant davantage de paramètres.

En fin de document sont fournies toutes les procédures informatiques déployées dans le cadre de cette étude.

### 1.3 Simulations de Monte-Carlo

Il s'agit d'attribuer à un paramètre d'entrée du modèle une distribution de probabilités, et d'analyser la distribution en sortie du paramètre d'intérêt, afin de quantifier sa variabilité. Cette analyse repose sur un grand nombre de simulations, dans le but d'obtenir des résultats robustes. Les variations en entrée de modèle se feront suivant des lois normales : la notation sera  $\mathcal{N}(m; \sigma)$  où  $m$  et  $\sigma$  sont respectivement la moyenne et l'écart type de la loi normale.

## 1.4 Analyse de sensibilité

Pour des paramètres d'entrée indépendants, nous utilisons comme indicateur de sensibilité l'indice de Sobol [6], qui quantifie la part de la variance de la variable réponse due à chacune des variables d'entrée :

$$S_i = \frac{\text{Var}[\mathbb{E}(Y|X_i)]}{\text{Var}(Y)}.$$

## 2. Modèle mécano-empirique de conception des chaussées

### 2.1 Introduction

Les deux modes de défaillance pris en compte lors du dimensionnement d'une chaussée sont la fatigue et l'orniérage ; nous nous intéressons ici à la fatigue seule. L'approche mécaniste-empirique tend à déterminer la probabilité de rupture en fatigue de la chaussée, rupture qui apparaît lorsque la charge de trafic cumulé attendu  $T$  est supérieure au nombre de répétitions de charges autorisées  $N_f$ . Si l'on note  $D$  cet indicateur d'endommagement, alors

$$D = \frac{T}{N_f} \quad (2.1)$$

### 2.2 Écriture du modèle

Nous avons repris l'écriture des équations issues du modèle mécano-empirique, que l'on retrouve à de nombreuses reprises dans les études internationales [1, 8].

#### 2.2.1 Durée de vie en fatigue

La durée de vie en fatigue  $N_f$  est égale au nombre de cycles de sollicitation à la rupture :

$$N_f = k_1 \times \left(\frac{1}{\epsilon_t}\right)^{k_2} \times \left(\frac{1}{E_1}\right)^{k_3} \quad (2.2)$$

Certains auteurs préconisent de supprimer le dernier terme de (2.2), sous prétexte que  $k_3$  est très petit devant  $k_2$  [5]. Comme le montre l'étude de sensibilité plus loin, nous avons préféré conserver ce terme, son impact étant loin d'être négligeable.

La contrainte en traction horizontale est :

$$\epsilon_t = f_1 + f_2 \log(E_1) + f_3 \log(E_2) + f_4 \log(E_3) + f_5 \log(h_1) + f_6 \log(h_2) \quad (2.3)$$

La signification et les valeurs des paramètres sont fournies par les tableaux 2.1, 2.2 et 2.3. Elles sont issues de [8], en particulier, les moyennes et écart types présentés ici.

**TABLE 2.1 – Facteurs du modèle de fatigue (d'après [8]).**

Nom	Signification	Valeur*
$E_1$	Module de l'enrobé (MPa)	$\mathcal{N}(2\,000 ; 400)$
$E_2$	Module de la couche granulaire (MPa)	$\mathcal{N}(450 ; 50)$
$E_3$	Module du sol support (MPa)	$\mathcal{N}(80 ; 10)$
$h_1$	Épaisseur d'enrobé (cm)	$\mathcal{N}(15 ; 0,7)$
$h_2$	Épaisseur de la couche granulaire (cm)	$\mathcal{N}(20 ; 2)$

$\mathcal{N}(m, \sigma)$  : variable gaussienne de moyenne  $m$  et d'écart type  $\sigma$ .

**TABLE 2.2 – Paramètres adimensionnels du modèle de fatigue (d’après [8]).**

Nom	Valeur
$k_1$	0,0795
$k_2$	3,291
$k_3$	0,854

**TABLE 2.3 – Paramètres adimensionnels du modèle de contrainte (d’après [8]).**

Nom	Valeur
$f_1$	$1,454 \times 10^{-3}$
$f_2$	$-7,998 \times 10^{-5}$
$f_3$	$-6,595 \times 10^{-5}$
$f_4$	$-1,421 \times 10^{-7}$
$f_5$	$-1,060 \times 10^{-4}$
$f_6$	$-6,913 \times 10^{-6}$

### 2.2.2 Trafic cumulé

Le trafic cumulé sur la durée de vie de la chaussée est :

$$T = 365 \times \frac{(1+r)^n - 1}{r} \times A \times F \times L \quad (2.4)$$

où les différents facteurs sont explicités dans le tableau 2.4.

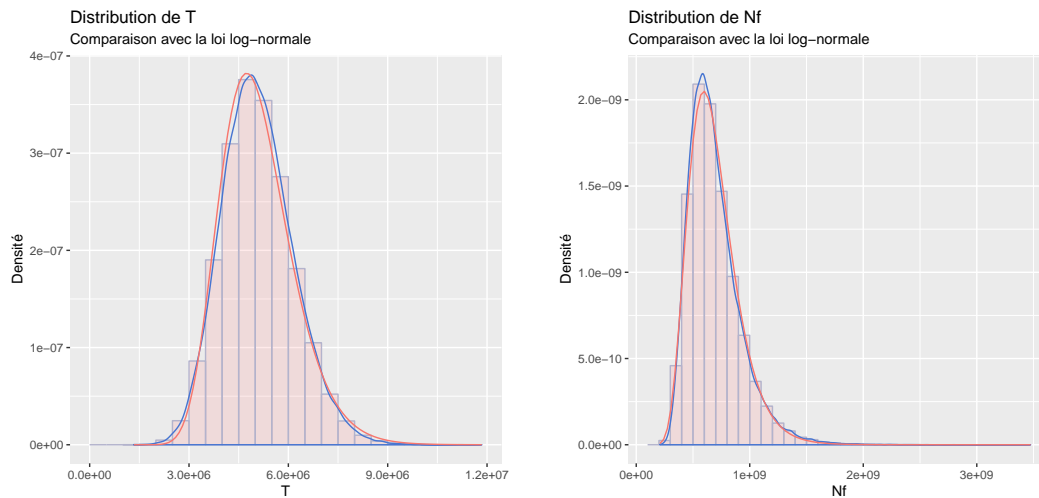
**TABLE 2.4 – Facteurs associés à la détermination du trafic cumulé (d’après [8]).**

Nom	Signification	Valeur
A	Trafic journalier moyen lors de la mise sous trafic (million d’essieux standard)	150
n	Durée d’exploitation (années)	20
F	Facteur d’agressivité du trafic (adimensionnel)	$\mathcal{N}(3 ; 0,5)$
L	Facteur de distribution latérale (adimensionnel)	$\mathcal{N}(0,75 ; 0,05)$
r	Taux annuel de croissance du trafic (%)	$\mathcal{N}(7 ; 1)$

## 2.3 Distribution de l’endommagement

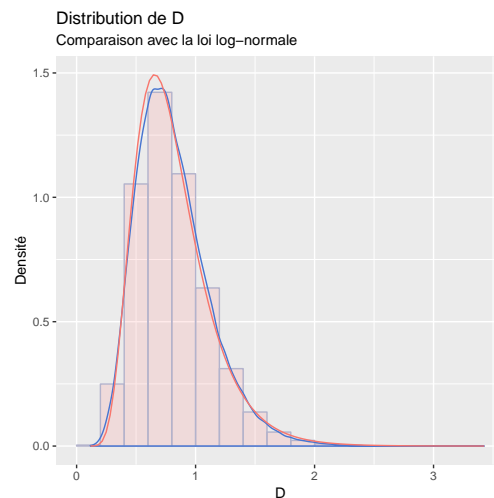
Pour obtenir la distribution de l’endommagement, on commence par étudier celles de T et  $N_f$ . À partir de l’équation (2.4) et des variations de F, L et r issues du tableau 2.4, on obtient comme distribution pour T une loi log-normale (fig. 2.1 à gauche).

De même, avec les équations 2.2 et 2.3 et les variations en entrées de modèle issues du tableau 2.1, on constate que  $N_f$  suit également une loi-normale (fig. 2.1 à droite).



**FIGURE 2.1** – Distribution de  $T$  (gauche) et  $Nf$  (droite), avec ajout de la distribution d'une loi log-normale (en rouge).

Puisque  $D = T/Nf$ , il est logique qu'à son tour la distribution de  $D$  suive aussi une loi log-normale<sup>1</sup>, ce qu'atteste la figure 2.2.

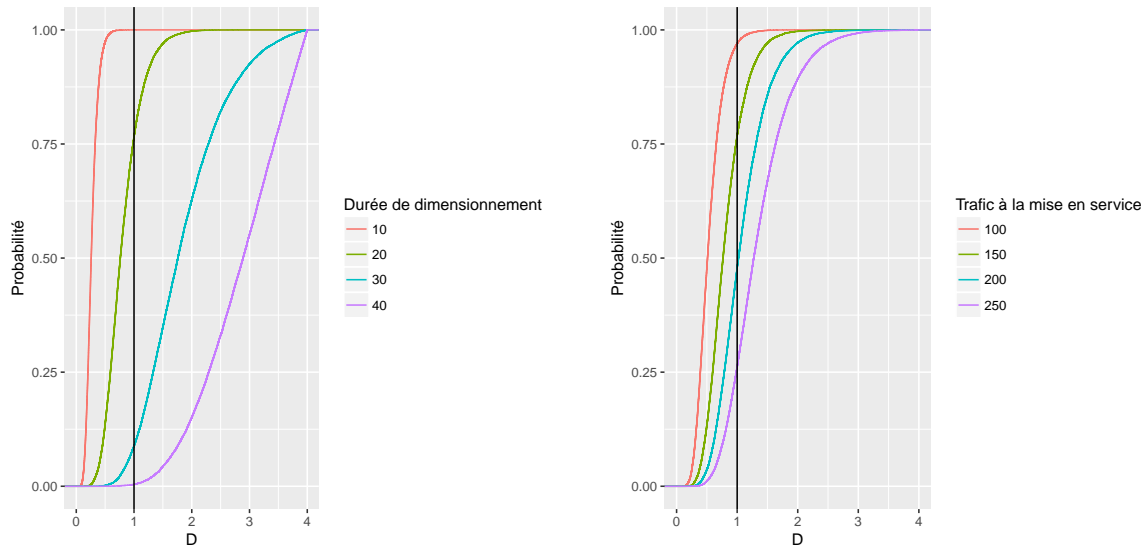


**FIGURE 2.2** – Distribution de  $D$ , avec ajout de la distribution d'une loi log-normale (en rouge).

## 2.4 Analyse de l'indicateur d'endommagement

La figure 2.3 illustre la fonction de répartition empirique de  $D$ , qui est égale à  $\mathbb{P}(D \leq d)$  pour tout  $d \geq 0$ . Les paramètres auxquelles sont affectés des distributions de probabilités sont ceux indiqués dans les tableaux 2.1 et 2.4. Pour chaque configuration (une durée de dimension donnée et un trafic initial donné), 25 000 simulations sont réalisées.

1.  $\log(D) = \log(T) - \log(Nf)$ , et ces deux dernières variables aléatoires sont supposées indépendantes et suivre des lois normales. Par conséquent  $\log(D)$  suit une loi normale, ce qui équivaut à dire que  $D$  suit une loi log-normale.



**FIGURE 2.3** – Fonction de répartition de  $D$  en fonction de la durée de vie initiale pour un trafic initial de 150 (gauche), et en fonction du trafic initial pour une durée de dimensionnement de 20 ans (droite).

En particulier, la droite verticale pour l’abscisse égale à 1 fournit la probabilité de non-rupture de la chaussée, soit  $\mathbb{P}(D \leq 1)$  :

- ▶ pour un trafic initial fixé à 150 PL, la probabilité de non-rupture est de 1 pour une durée de dimensionnement de 10 ans, de 0,75 pour une durée de dimensionnement de 20 ans, etc. À trafic initial donné, plus la durée de dimensionnement est grande, plus la structure risque de se dégrader ;
- ▶ pour une durée de dimensionnement fixée à 20 ans, la probabilité que la chaussée n’atteigne pas la rupture est d’environ 0,95 pour un trafic initial de 100 PL, de 0,75 pour un trafic initial de 150, etc. Pour une durée de dimensionnement fixe donnée, plus le trafic initial est important, plus la structure risquera de se dégrader.

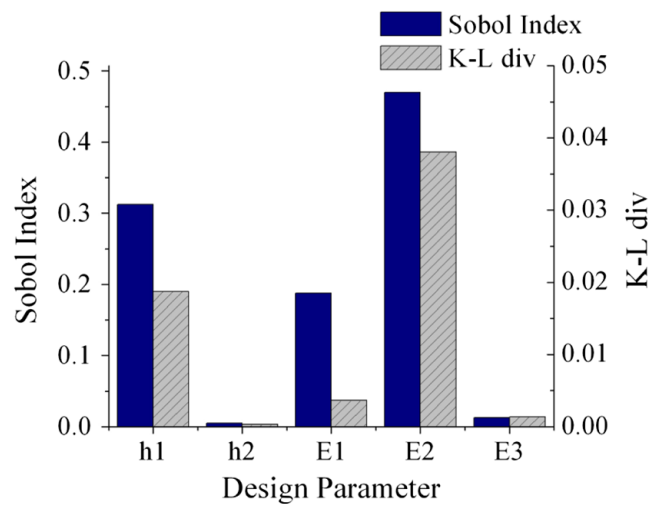
## 2.5 Analyses de sensibilité

L’analyse de sensibilité permet d’identifier les facteurs et coefficients ayant les plus forts impacts sur la variabilité de  $N_f$ . Par rapport à certaines études prônant la suppression du dernier terme de l’éq. (2.2), le tableau 2.5 montre qu’il est utile de le conserver puisque sa contribution à la variabilité du facteur d’endommagement est loin d’être négligeable.

**TABLE 2.5 – Analyse de sensibilité des facteurs mécaniques (gauche) et des coefficients de fatigue (droite).**

Nom	Valeur	Nom	Valeur
E1	53 %	k1	1 %
E2	36 %	k2	54 %
E3	0 %	k3	45 %
h1	11 %		
h2	0 %		

À titre de comparaison, nous retrouvons des résultats similaires à ceux d'une étude publiée en 2016 [2], comme l'indique la figure 2.4 issue de cette étude.

**FIGURE 2.4 – Analyse de sensibilité issue de [2].**

### 3. Guide technique de conception et dimensionnement des chaussées

---

Les éléments suivants sont tirés du *Guide technique « Conception et dimensionnement des structures de chaussées »* [3].

#### 3.1 Introduction

Pour la phase de dimensionnement proprement dite, la méthode française relève d'une démarche combinant les apports de la mécanique rationnelle et des éléments expérimentaux :

- ▶ les méthodes de la mécanique sont employées pour définir un modèle de la structure de chaussée et calculer les sollicitations engendrées par la charge standard correspondant à l'essieu légal ;
- ▶ les résultats d'essais de laboratoire sur l'endommagement en fatigue des matériaux de chaussée sont ensuite utilisés pour apprécier la résistance en fatigue de la structure en retenant l'hypothèse d'additivité des dommages de Miner ;
- ▶ les connaissances tirées de l'observation du comportement de chaussées réelles, notamment pour caler les résultats du modèle de calcul.

Si le processus d'élaboration des matériaux des couches de chaussée et les précautions prises à la mise en œuvre permettent de limiter certaines variations de caractéristiques, le développement de l'endommagement par fatigue garde intrinsèquement un caractère aléatoire dont témoigne la dispersion des résultats d'essai de fatigue sur éprouvette en laboratoire. À ces aspects propres aux matériaux s'ajoute la variabilité de l'épaisseur des couches de chaussée réalisées sur chantier, dispersion qui dépend des méthodes d'exécution et de la qualité des travaux.

Enfin, les facteurs qui sont la cause même des sollicitations dans la chaussée, à savoir les paramètres d'environnement et le trafic, varient au cours de la durée de vie de la chaussée sans qu'il soit souvent possible d'en faire une prévision précise

La conjonction de cet ensemble de sources d'incertitude conduit à raisonner en termes probabilistes pour apprécier l'évolution du risque de dégradation de la chaussée. C'est ce que traduisent les concepts de durée initiale et de risque de calcul.

#### 3.2 Risque de calcul

Compte tenu du caractère probabiliste exposé plus haut, l'objectif qui peut être retenu est que la probabilité d'apparition de dégradations (d'une nature ou d'une amplitude donnée) avant une période donnée de  $d$  années, soit inférieure à une valeur fixée. Cette probabilité de rupture est appelée le « risque de calcul », et la période de  $d$  années la « durée initiale de calcul ».

Par la suite, on considérera que le risque de calcul est ainsi défini : « un risque de  $\rho$  %, sur une période de  $d$  années, pris pour le dimensionnement de la chaussée est la probabilité pour qu'apparaissent, au cours de ces  $d$  années des désordres qui impliqueraient des travaux de renforcement assimilables à une reconstruction de la chaussée, en l'absence de toute intervention d'entretien structurel dans l'intervalle. »

Les valeurs des sollicitations admissibles dans les couches de chaussée sont déterminées à partir des caractéristiques du comportement en fatigue des matériaux, du trafic cumulé et de ce risque de calcul. Un coefficient multiplicateur de calage est introduit pour corriger les écarts entre les prédictions tirées de la démarche de calcul et l'observation du comportement des chaussées.

Les seuls facteurs pris en considération pour rendre compte de la variabilité de l'apparition et du développement des dégradations des chaussées sont les dispersions sur :

- ▶ les résultats d'essais en fatigue ;
- ▶ l'épaisseur des couches lors de l'exécution.

### 3.3 Courbe de fatigue

La courbe de fatigue tirée des essais de laboratoire est définie pour une probabilité de rupture de 50 %. Les résultats des essais, exprimés en  $\log(N)$  (logarithme décimal du nombre de cycles à la rupture) sont distribués suivant une loi normale avec un écart-type noté  $\sigma_N$ . L'épaisseur des couches est considérée comme étant elle aussi distribuée selon une loi normale d'écart-type  $\sigma_h$ .

La courbe représentant l'amplitude de sollicitation  $\epsilon$  en fonction de la durée de vie  $N_f$  est appelée courbe de Wöhler. Pour les enrobés bitumineux, elle est caractérisée par la relation ou loi de fatigue suivante :

$$\epsilon = A \cdot N_f^{-b} \quad (3.1)$$

Par commodité, la pratique courante est d'exprimer la déformation  $\epsilon$  en  $10^{-6}$  (noté  $\mu_{def}$ ).

### 3.4 Trafic équivalent

La méthode de dimensionnement nécessite de convertir le trafic réel poids lourds (PL) en un nombre cumulé NE de passages d'essieux de référence<sup>1</sup>. Le trafic est calculé à partir de plusieurs paramètres :

- ▶ le nombre de poids lourds qui vont circuler par jour à l'instant de la mise en service ;
- ▶ l'agressivité et la croissance du trafic ;
- ▶ la durée de vie souhaitée de la chaussée.

Le trafic cumulé sur la durée de vie  $d$  de la chaussée est :

$$N = 365 \times \frac{(1+r)^d - 1}{r} \times \text{TMJA} \quad (3.2)$$

où TMJA est le trafic PL par sens compté en moyenne journalière annuelle et  $r$  est le taux de croissance du trafic pendant la durée initiale de calcul. Le tableau 3.1 rappelle la composition des classes de trafic en fonction du trafic MJA, ainsi que le risque de calcul retenu à 20 ans pour les graves bitumes et les graves hydrauliques, sur routes nationales.

1. En France, l'essieu de référence est celui de 13 t et donc  $P_{ref} = 130$  kN.

**TABLE 3.1** – Classes de trafic et, concernant les routes nationales, le risque de calcul retenu à 20 ans pour les graves bitumes (et graves hydrauliques entre parenthèses).

TMJA	Classe	Risque (%)
0-25	T5	–
25-50	T4	–
50-150	T3	25 (12)
150-300	T2	12 (7,5)
300-750	T1	5 (5)
750-2 000	T0	2 (2,5)
2 000-5 000	TS	–
> 5 000	TEX	–

Le trafic cumulé NE, exprimé en nombre équivalent d'essieux de référence, est :

$$NE = N \times CA \quad (3.3)$$

où CA est le coefficient d'agressivité moyenne du PL par rapport à l'essieu de référence.

### 3.5 Sollicitation admissible pour le sol support

Dans le cas des chaussées souples et bitumineuses épaisses, le corps de chaussée doit être dimensionné pour éviter l'orniérage du support par cumul de déformations permanentes à ce niveau. Pour les autres structures de chaussée plus rigides, c'est le critère de résistance en fatigue des couches d'assise qui est presque toujours déterminant. À défaut de méthode de calcul et de données permettant d'estimer l'évolution des déformations permanentes en fonction des contraintes et du nombre d'applications de charges, le dimensionnement de la structure de chaussée, vis-à-vis du risque d'orniérage du support, est fait en limitant la déformation verticale  $\epsilon_z$  du sol support.

Pour les chaussées à moyen et fort trafic (classe de trafic supérieure ou égale à T3), la déformation admissible est définie par :

$$\epsilon_{z,ad} = 0,012 \times NE^{-0,222} \quad (3.4)$$

Pour les chaussées à faible trafic (classe de trafic inférieure à T3), elle vaut :

$$\epsilon_{z,ad} = 0,016 \times NE^{-0,222} \quad (3.5)$$

### 3.6 Sollicitation admissible pour les chaussées souples et bitumineuses épaisses

Connaissant le NE et la loi de fatigue (cf. éq. (3.1)), il est possible de calculer la sollicitation admissible  $\epsilon_{t,ad}$  :

$$\epsilon_{t,ad} = \epsilon_6(10 \text{ °C}, 25 \text{ Hz}) \times \left(\frac{NE}{10^6}\right)^b \times \sqrt{\frac{E(10 \text{ °C})}{E(\theta_{eq})}} \times k_r \times k_s \times k_c \quad (3.6)$$

avec :

- ▶  $\epsilon_6$  la déformation nécessaire pour atteindre  $10^6$  cycles ;
- ▶  $b$  la pente de la droite de fatigue ;
- ▶  $E(10\text{ °C})$  le module de rigidité du matériau bitumineux à  $10\text{ °C}$  et  $10\text{ Hz}$  ;
- ▶  $E(\theta_{\text{eq}})$  le module de rigidité du matériau bitumineux à la température équivalente  $\theta$  (égale à  $15\text{ °C}$  en France métropolitaine) et à la fréquence de  $10\text{ Hz}$  ;
- ▶ un terme  $k_r$  lié au risque, qui prend en compte la dispersion des résultats de l'essai de fatigue et la variation d'épaisseur des couches liée aux difficultés de mise en œuvre ;
- ▶ un terme  $k_s$  lié à la sécurité par rapport à un éventuel défaut de portance de la plateforme, d'autant plus important que celle-ci est de qualité médiocre ;
- ▶ un terme  $k_c$  de calage, qui est un coefficient empirique qui permet de retrouver les déformations mesurées sur chaussée et qui corrige les effets de paramètres environnementaux non pris en compte par la loi de fatigue ou la correction de température.

Le coefficient  $k_r$  ajuste la valeur de la déformation admissible au risque de calcul retenu en fonction des facteurs de dispersion sur l'épaisseur  $\sigma_h$  et sur les résultats des essais de fatigue  $\sigma_N$  :

$$k_r = 10^{-ub\delta} \quad (3.7)$$

avec :

- ▶  $u$  variable centrée réduite associée au risque  $\rho$  ;
- ▶  $\delta$  écart-type de la distribution de  $\log(N)$  à la rupture :

$$\delta = \sqrt{\sigma_N^2 + \frac{c^2}{b^2} \cdot \sigma_h^2} \quad (3.8)$$

où  $c$  est le coefficient reliant la variation de déformation à la variation aléatoire d'épaisseur de la chaussée. Pour les structures courantes,  $c$  est de l'ordre de  $0,02\text{ cm}^{-1}$ .

Pour les chantiers courants, en fonction de l'épaisseur totale  $e$  des couches mises en œuvre, les valeurs de  $\sigma_h$  sont fournies par le tableau 3.2.

**TABLE 3.2 – Valeurs de l'écart-type sur les épaisseurs des couches en matériaux hydrocarbonés lors de la mise en œuvre.**

$e$ (cm)	$e \leq 10$	$10 < e < 15$	$e \geq 15$
$\sigma_h$ (cm)	1	$1 + 0,3 \times (e - 10)$	2,5

Les tableaux 3.3 et 3.4 fournissent les valeurs des coefficients  $k_c$  (coefficient de calage destiné à ajuster les résultats du modèle de calcul au comportement observé de chaussées de même type) et  $k_s$  (coefficient minorateur tenant compte de l'effet d'hétérogénéités locales de portance d'une couche de faible rigidité supportant les couches liées).

**TABLE 3.3 – Valeurs du coefficient  $k_c$ .**

Matériau	GB	BB	EME
$k_c$	1,3	1,1	1

**TABLE 3.4 – Valeurs du coefficient  $k_s$  en fonction du module du matériau de la couche sous-jacente.**

Module (MPa)	$E < 50$	$50 \leq E < 120$	$E \geq 120$
$k_s$	1/1,2	1/1,1	1

### 3.7 Couche de surface

Pour la détermination de l'épaisseur de la couche de surface en enrobés bitumineux, on considère ici trois situations :

- ▶ les chaussées souples à couche de base granulaire et dont la couche de roulement est peu épaisse (moins de 6 cm) ;
- ▶ les chaussées à assise traitée aux liants hydrauliques ;
- ▶ les autres cas de chaussées.

### 3.8 Couche de base

Pour les chaussées souples et bitumineuse épaisses :

- ▶ si le trafic est faible ( $NE < 250\,000$ ), l'épaisseur de la couche de base en grave non traitée est fixée à 15 cm jusqu'à un trafic cumulé équivalent NE de 100 000 essieux et à 20 cm au-delà ;
- ▶ l'épaisseur de matériau granulaire est fixée en fonction de la portance de la plate-forme pour assurer une mise en œuvre correcte de la couche de base. Les épaisseurs minimales retenues sont 15 cm sur PF3, 25 cm sur PF2 et 45 cm sur PFI.

### 3.9 Application

Nous considérons l'exemple p. 167 du *Guide technique de conception et dimensionnement des structures de chaussées* – § 4.2.4.

#### 3.9.1 Paramètres

Les paramètres généraux sont les suivants :

- ▶ MJA : 210 PL/j avec un taux de croissance géométrique de 7 % ;
- ▶ Durée initiale : 20 ans ;

- ▶ CAM du trafic : 1;
- ▶ Trafic cumulé par voie :  $N = 3,14 \times 10^6$ ;
- ▶ Nombre d'essieux équivalents :  $NE = 3,14 \times 10^6$ ;
- ▶ Risque de calcul : 12 %.

### 3.9.2 Couche de surface

Avec un trafic T2, on retient une couche de surface en béton bitumineux (BB) de 6 cm d'épaisseur. Les essais de laboratoire ont donné les résultats inscrits dans le tableau 3.5.

**TABLE 3.5 – Essais de laboratoire pour le BB.**

$E(10\text{ °C}, 10\text{ Hz})$	$E(15\text{ °C}, 10\text{ Hz})$	$\epsilon_6(10\text{ °C}, 25\text{ Hz})$	$b$	$\sigma_{N, BB}$
7 200 MPa	5 400 MPa	$150 \times 10^{-6}$	-0,20	0,25

La dispersion sur l'épaisseur de la couche de surface est :

$$\sigma_{h, BB} = 1\text{ cm}$$

Le coefficient de calage  $k_c$  vaut 1,1.

Nous avons :

- ▶  $r = 12\%$ ;
- ▶  $u = -1,175$ ;
- ▶  $b = -0,2$ ;
- ▶  $c = 0,02$ ;
- ▶  $\delta = \sqrt{\sigma_{N, BB}^2 + \frac{c^2}{b^2} \cdot \sigma_{h, BB}^2} = 0,269$ ;
- ▶  $k_r = 10^{-ub\delta} = 0,864$ ;
- ▶  $k_c = 1,1$ ;
- ▶  $k_s = 1$ ;
- ▶ et donc

$$\begin{aligned} \epsilon_{NE, \theta_{eq}, f} &= 150 \times 10^{-6} \sqrt{\frac{7\,200}{5\,400}} \times \left( \frac{3,14 \times 10^6}{10^6} \right)^{-0,2} \\ &= 138 \times 10^{-6} \end{aligned}$$

- ▶ et enfin

$$\begin{aligned} \epsilon_{t, ad, BB} &= \epsilon_{NE, \theta_{eq}, f} \times k_r \times k_c \times k_s \\ &= 131 \times 10^{-6}. \end{aligned}$$

### 3.9.3 Sol support

La classe de portance est une PF3,  $E = 120$  MPa et  $\nu = 0,35$ . La déformation verticale admissible vaut :

$$\begin{aligned}\epsilon_{z,ad} &= 0,012(NE)^{-0,222} \\ &= 433 \times 10^{-6}.\end{aligned}$$

### 3.9.4 Grave bitume

Les essais de laboratoire sur la grave bitume (GB) ont donné les résultats inscrits dans le tableau 3.6.

**TABLE 3.6 – Essais de laboratoire pour la GB.**

$E(10\text{ °C}, 10\text{ Hz})$	$E(15\text{ °C}, 10\text{ Hz})$	$\epsilon_6(10\text{ °C}, 25\text{ Hz})$	$b$	$\sigma_{N,GB}$
12 300 MPa	9 300 MPa	$90 \times 10^{-6}$	-0,20	0,30

La dispersion sur l'épaisseur de la GB est :

$$\sigma_{h,GB} = \min \left[ \max(1 ; 0,3h - 2) ; 2,5 \right] \text{ cm} \quad (3.9)$$

Le coefficient de calage  $k_c$  vaut 1,3.

Nous avons :

- ▶  $r = 12\%$ ;
- ▶  $u = -1,175$ ;
- ▶  $b = -0,2$ ;
- ▶  $c = 0,02$ ;
- ▶  $\delta = \sqrt{\sigma_{N,GB}^2 + \frac{c^2}{b^2} \cdot \sigma_{h,GB}^2} = 0,391$  (si  $h_{GB} \geq 15$  cm);
- ▶  $k_r = 10^{-ub\delta} = 0,810$ ;
- ▶  $k_c = 1,3$ ;
- ▶  $k_s = 1$ ;
- ▶ et donc

$$\begin{aligned}\epsilon_{NE,\theta_{eq},f} &= 90 \times 10^{-6} \sqrt{\frac{12\,300}{9\,300}} \times \left( \frac{3,14 \times 10^6}{10^6} \right)^{-0,2} \\ &= 82 \times 10^{-6}\end{aligned}$$

- ▶ et enfin

$$\epsilon_{t,ad,GB} = \epsilon_{NE,\theta_{eq},f} \times k_r \times k_c \times k_s \quad (3.10)$$

$$= 86 \times 10^{-6} \quad (\text{si } h_{GB} \geq 15 \text{ cm}). \quad (3.11)$$

### 3.9.5 Récapitulatif

Le tableau 3.7 récapitule les valeurs admissibles.

**TABLE 3.7** – *Récapitulatif des valeurs admissibles.*

Indicateur	Valeur
$\epsilon_{t,ad,BB}$	$131 \times 10^{-6}$
$\epsilon_{t,ad,GB}$	$86 \times 10^{-6}$
$\epsilon_{z,ad}$	$433 \times 10^{-6}$

## 4. Variations

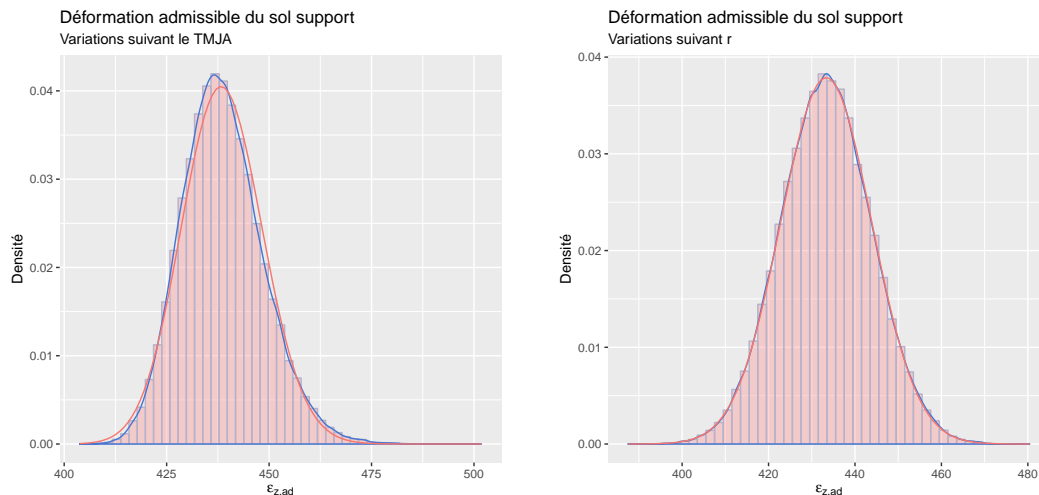
Par la suite, concernant la variabilité des paramètres :

- ▶ les moyennes sont celles de l'exemple du Gide de dimensionnement ;
- ▶ les écarts types sont déterminés de manière à avoir une variabilité importante tout en s'assurant que les différentes valeurs des paramètres demeurent positives.

### 4.1 Déformation admissible du sol support

À partir de l'éq. 3.2 et de 100 000 simulations, nous étudions la distribution de la déformation admissible  $\epsilon_{z,ad}$  en fonction :

- ▶ de la variation du TMJA, qui suit une loi  $\mathcal{N}(200, 20)$ <sup>1</sup> ;
- ▶ de la variation de  $r$ , qui suit une loi  $N(0,07; 0,01)$ <sup>2</sup>.



**FIGURE 4.1** – Distribution de la déformation admissible du sol support en fonction des variations du TMJA (gauche) et de  $r$  (droite).

Nous obtenons une distribution log-normale pour  $\epsilon_{z,ad}$  lorsque le TMJA varie, et une distribution proche d'une gaussienne lorsque  $r$  varie. Dans les deux cas, l'amplitude est d'environ  $70 \times 10^{-6}$ .

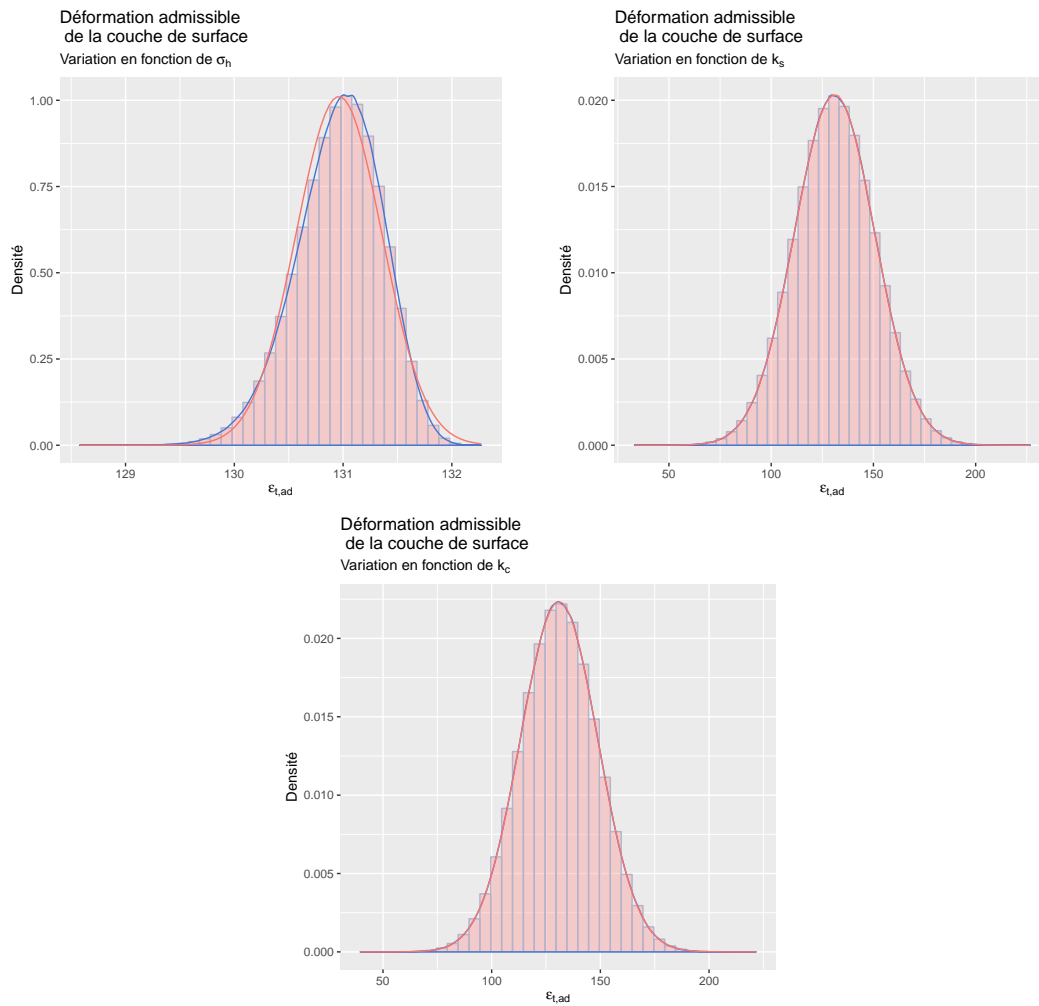
### 4.2 Déformation admissible de la couche de surface

À partir de l'éq. 3.6 et de 100 000 simulations, nous étudions la distribution de la déformation admissible  $\epsilon_{t,ad}$  en fonction :

1. Ce qui donne un TMJA variant entre  $1,4 \times 10^6$  et  $3 \times 10^6$  PL.
2. Ce qui donne un  $r$  variant entre 3 % et 12 %.

- ▶ de la variation de  $\sigma_{h, BB}$ , qui suit une loi  $\mathcal{N}(1; 0,15)$ ;
- ▶ de la variation de  $k_s$ , qui suit une loi  $\mathcal{N}(1; 0,15)$ ;
- ▶ de la variation de  $k_c$ , qui suit une loi  $\mathcal{N}(1,1; 0,15)$ .

La figure 4.2 montre que les distributions de  $\epsilon_{t, ad}$  sont gaussiennes lorsque, en entrée, les paramètres varient suivant des lois gaussiennes.



**FIGURE 4.2** – Distribution de la déformation admissible du sol support en fonction des variations de  $\sigma_{h, BB}$  (en haut à gauche), de  $k_s$  (en haut à droite) et de  $k_c$  (en bas) pour la couche de surface.

Le tableau 4.1 fournit les pourcentages de variabilité attribués à chacun des paramètres d'entrée. Tandis que la variabilité de l'épaisseur de la couche ne semble pas influencer sur  $\epsilon_{t, ad}$ , c'est le paramètre  $k_s$  qui a la plus grande influence, suivi de près par le paramètre  $k_c$ .

**TABLE 4.1 – Analyse de sensibilité de trois coefficients pour la couche de surface.**

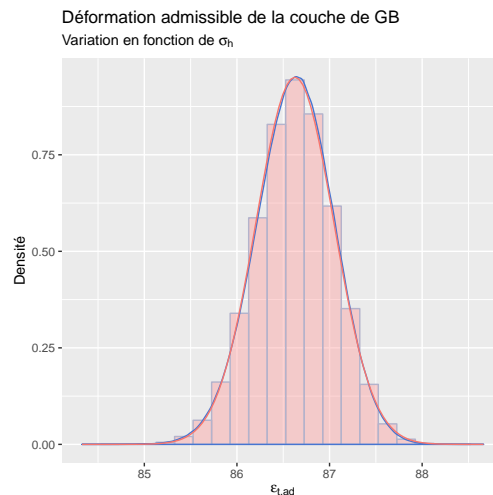
Nom	Valeur
$\sigma_{h,GB}$	0 %
$k_s$	55 %
$k_c$	45 %

### 4.3 Déformation admissible de la couche de grave bitume

À partir de l'éq. 3.10 et de 100 000 simulations, nous étudions la distribution de la déformation admissible  $\epsilon_{t,ad}$  en fonction :

- ▶ de la variation de  $\sigma_{h,GB}$ , qui suit une loi  $\mathcal{N}(2,5 ; 0,14)$ <sup>3</sup>;
- ▶ de la variation de  $k_s$ , qui suit une loi  $\mathcal{N}(1; 0,15)$ ;
- ▶ de la variation de  $k_c$ , qui suit une loi  $\mathcal{N}(1,3; 0,15)$ .

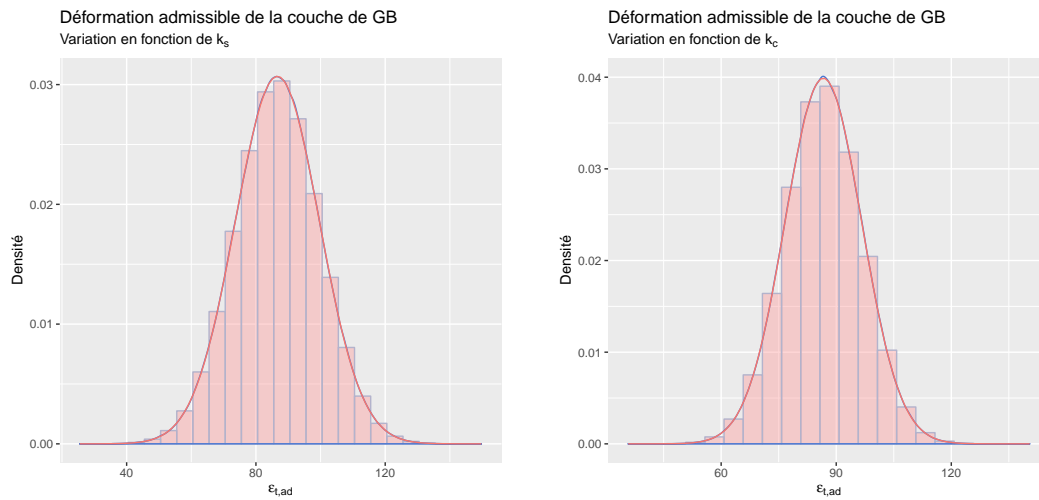
La figure 4.3 montre que la déformation admissible  $\epsilon_{t,ad}$  suit une loi gaussienne lorsque la variabilité de l'épaisseur de la couche de GB suit une loi normale.

**FIGURE 4.3 – Distribution de la déformation admissible de la GB en fonction des variations de  $\sigma_{h,GB}$ .**

Par la suite, la dispersion sur l'épaisseur de la couche de GB est fixée à 2,5 – en effet, l'épaisseur de GB étant égale à 17, 18 ou 19 cm, dans ces trois cas le calcul (eq. (3.9)) mène à une dispersion de 2,5.

La figure 4.4 montre que, là encore, la déformation admissible du sol support suit une loi gaussienne lorsque soit  $k_c$ , soit  $k_s$  varie en entrée suivant une loi gaussienne.

3. L'exemple stipule que la couche de GB doit excéder 15 cm.



**FIGURE 4.4** – Distribution de la déformation admissible de la GB en fonction des variations de  $k_s$  (gauche) et de  $k_c$  (droite).

Le tableau 4.2 fournit les pourcentages de variabilité attribués à chacun des paramètres d'entrée. Les résultats sont similaires à ceux concernant la couche de surface : tandis que la variabilité de l'épaisseur de la couche ne semble pas influencer sur  $\epsilon_{t,ad}$ , c'est le paramètre  $k_s$  qui a la plus grande influence, suivi du paramètre  $k_c$ .

**TABLE 4.2** – Analyse de sensibilité de trois coefficients pour la couche de GB.

Nom	Valeur
$\sigma_{h,GB}$	0 %
$k_s$	64 %
$k_c$	36 %

## 5. Conclusions

Cette étude met en évidence le rôle plus ou moins grand joué par trois paramètres du modèle de dimensionnement : la dispersion sur l'épaisseur d'une couche  $\sigma_{h,couche}$  et les coefficients  $k_s$  et  $k_c$ . Elle illustre également la variabilité observée sur les contraintes lorsque des distributions de probabilités sont affectées à certains paramètres d'entrée du modèle. La dernière interrogation qui s'ouvre est celle de l'impact des variabilités sur les épaisseurs de couches recommandées par le Guide de dimensionnement français.

À l'aide du logiciel Alizé, toujours dans le cadre de l'exemple en p. 167 du « Guide technique de conception et dimensionnement des structures de chaussées », nous avons déterminé les déformations dans la structure de chaussée bitumineuse (calculs de vérifications) – le tableau 5.1 en fournit les résultats – puis nous les avons comparé d'une part aux valeurs admissibles récapitulées dans le tableau 3.7, d'autre part à la déformation admissible affectée d'une variabilité telle que représentée par la figure 4.4.

**TABLE 5.1 – Déformations dans les différentes couches (calculs de vérification) en fonction des épaisseurs (notées Ép.).**

Ép. GB	Ép. couche de surface			
	6 cm		10 cm	
	$\epsilon_{t,GB}$	$\epsilon_{z,sol}$	$\epsilon_{t,GB}$	$\epsilon_{z,sol}$
17	89	283	72	227
18	84	265	69	215
19	79	248	65	203
22	67	208	56	174
25	57	177	48	150

Nous constatons que la déformation admissible du sol support ( $433 \times 10^{-6}$ ) est toujours supérieure à la déformation attendue (valant au maximum  $283 \times 10^{-6}$ ). Par contre, nous voyons que  $\epsilon_{t,ad,GB}$  varie globalement entre 50 et 120 en fonction de  $k_c$  et  $k_s$  (fig. 4.4) : cette variabilité a donc une incidence sur l'épaisseur des couches. En effet, pour une valeur de  $\epsilon_{t,ad,GB}$  égale à 50, il faudra nécessairement envisager une couche de surface de 10 cm et deux couches de GB d'une épaisseur totale de 25 cm, soit par exemple une couche de 10 cm et une couche de 15 cm<sup>1</sup>.

1. L'épaisseur d'une couche de GB 0/20 doit être comprise entre 10 cm et 15 cm.

Il pourrait être intéressant d'implémenter dans une version future d'Alizé un module de simulations permettant de prendre en compte la variabilité associée aux différents paramètres du modèle.

## A. Références

---

- [1] Asphalt Institute (1999), *Thickness design – asphalt pavements for highways and streets*, Manual Series No. 1, 9<sup>th</sup> Edition, The Asphalt Institute, Lexington, Ky USA.
- [2] D.M. Dilip et G. L. Sivakumar Babu (2016), « Methodology for Global Sensitivity Analysis of Flexible Pavements in a Bayesian Back-Analysis Framework », *ASCE-ASME J. Risk Uncertainty Eng. Syst.*, Part A, vol. 2.
- [3] Guide technique « Conception et dimensionnement des structures de chaussées », Guide technique SETRA - LCPC, décembre 1994.
- [4] Y.H. Huang (2004), *Pavement analysis and design*, Second Edition, Pearson Prentice Hall, New Jersey.
- [5] J. Q. Retherford et M. McDonald (2010), « Reliability Methods Applicable to Mechanistic-Empirical Pavement Design Method », *Transportation Research Record : Journal of the Transportation Research Board*, No. 2154, Transportation Research Board of the National Academies, Washington, D.C., p. 130-137.
- [6] I.M. Sobol (1993), « Sensitivity estimates for nonlinear mathematical models », *Mathematical Modelling and Computational Experiments*, vol. 1, p. 407-414.
- [7] Bruno Sudret (2007), « Uncertainty propagation and sensitivity analysis in mechanical models - Contributions to structural reliability and stochastic spectral methods », HDR, Université Blaise Pascal - Clermont II.
- [8] S. Thongram et P. Rajbongshi (2016), « Probability and Reliability Aspects in Pavement Engineering », *International Journal of Latest Technology in Engineering, Management & Applied Science*, vol. V, issue III.

## B. Code R

### B.1 Modèle mécanico-empirique

```

1 library(ggplot2)
2
3 # msa : million standard axels
4 # N : nombre d'itérations
5 # A : trafic journalier moyen à l'instant t0
6 # r : taux annuel de croissance du trafic
7 # L : facteur de distribution latérale
8 # F : facteur d'agressivité du trafic
9 N=100000 #1000
10 A=350
11 n=10
12 data = data.frame(r=rnorm(N,7,1)/100,F=rnorm(N,3,.5),L=rnorm(N,.75,.05))
13 data$T=365*(((1+data$r)^n-1)/data$r)*A*data$F*data$L
14 data
15
16 # Fatigue life
17
18 k1=0.0795 #mean(c(2.21*1e-4,0.0795,0.0685,497.156,4.92*1e-14,1.66*1e-10))
19 k2=3.291
20 k3=0.854
21 f1=1.454*1e-3
22 f2=-7.998*1e-5
23 f3=-6.595*1e-5
24 f4=-1.421*1e-7
25 f5=-1.060*1e-4
26 f6=-6.913*1e-6
27
28 data$E1=rnorm(N,2000,400)
29 data$E2=rnorm(N,450,50)
30 data$E3=rnorm(N,80,10)
31 data$h1=rnorm(N,15,.7)
32 data$h2=rnorm(N,20,2)
33
34 summary(data)
35
36 data$epst = f1+f2*log(data$E1)+f3*log(data$E2)+f4*log(data$E3)+f5*log(data$h1)+f6*log(data$h2)
37 data$Nf = k1*(1/data$epst)^k2*(1/data$E1)^k3
38
39 # D : facteur d'endommagement
40 data$D=100*data$T/data$Nf
41
42 summary(data$T)
43 sqrt(var(data$T))
44 summary(data$Nf)
45 sqrt(var(data$Nf))
46
47
48 par(mfrow=c(1,2))
49 hist(data$T)
50 hist(data$D)
51
52 ggplot(data=data, aes(D)) + geom_histogram(aes(y =..density..),
53       breaks=seq(0, max(data$D), by = .2),
54       col="black",
55       fill="green",
56       alpha=.2) +

```

```

57 geom_density(col=3) +
58 stat_function(fun = dlnorm, args = list(mean = mean(log(data$D)), sd = sd(log(data$D))), aes(colour = 'Lognormale'))
59
60
61 mu=log(mean(log(data$D)))-1/2*log(1+((sd(log(data$D)))^2)/mean(log(data$D))^2)
62 sigma=log(1+((sd(log(data$D)))^2)/mean(log(data$D))^2)
63 data$prob=plnorm(data$D,meanlog = mean(log(data$D)), sdlog = sd(log(data$D)))
64
65 #densite=data.frame(x=seq(min(data$D),max(data$D),by=.1),dens=plnorm(seq(min(data$D),max(data$D),by=.1),meanlog = mean(log(data$D)))
66 #plot(densite$x,densite$dens)
67
68 ggplot(data=data, aes(D,prob)) + geom_point()
69 plnorm(1,meanlog = mean(log(data$D)), sdlog = sd(log(data$D)))
70
71 #head(data)
72
73 #S=sqrt(var(log(data$T))+var(log(data$Nf)))
74 #Zr=-mean(log(data$D))/S
75
76 #data$Np=exp(log(data$T)+Zr*S)
77 #data$Delta=data$Nf-data$Np
78 #summary(data$Delta)
79 #par(mfrow=c(1,1))
80 #hist(data$Delta)
81
82 # SENSITIVITY
83
84 cv_E1 = sqrt(var(data$E1))/mean(data$E1)
85 cv_E2 = sqrt(var(data$E2))/mean(data$E2)
86 cv_E3 = sqrt(var(data$E3))/mean(data$E3)
87 moy_E1=mean(data$E1)
88 moy_E2=mean(data$E2)
89 moy_E3=mean(data$E3)
90 s_E1= moy_E1*cv_E1
91 s_E2= moy_E2*cv_E2
92 s_E3= moy_E3*cv_E3
93
94 # vecteur de noms de variables pour le calcul symbolique et l'affichage
95 par.names <- c("E1","E2","E3")
96 # Valeurs moyennes + conversions d'unites
97 E1 <- moy_E1
98 E2 <- moy_E2
99 E3 <- moy_E3
100 par.mu <- c(E1,E2,E3)
101
102 # Incertitudes type
103 E1.u <- s_E1
104 E2.u <- s_E2
105 E3.u <- s_E3
106 par.u <- c(E1.u, E2.u, E3.u)
107
108 fFunc <- function(x) k1*(1/(f1+f2*log(x[1])+f3*log(x[2])+f4*log(x[3])+f5*log(mean(data$h1))+f6*log(mean(data$h2))))^k2*(1/x[1])^k3
109
110 y <- fFunc(par.mu)
111
112 fSample <- function(M, params) {
113 # M : nombre de tirages a renvoyer
114 # params : liste contenant les donnees necessaires au modele
115 with(params, {
116 E1.s <- rnorm(M, mean = moy_E1, sd = s_E1)
117 E2.s <- rnorm(M, mean = moy_E2, sd = s_E2)
118 E3.s <- rnorm(M, mean = moy_E3, sd = s_E3)
119 return(cbind(E1.s, E2.s, E3.s))
120 })
121 }

```

```

122
123 fModVec <- function(X) apply(X, 1, fFunc)
124
125
126 # Monte Carlo version
127 K <- 1000
128
129 params <- list(E1 = E1, E2=E2, E3=E3, E1.u = E1.u, E2.u=E2.u, E3.u = E3.u)
130 X <- fSample(K, params)
131 X <- data.frame(X)
132
133 Y <- fModVec(X)
134
135 # Methode de Sobol
136 library(sensitivity)
137 sobolSA <- function(M, flnput, fOutput, params) {
138   # Calcul des coefficients de sensibilité par la methode de Sobol
139   # Premier echantillon
140   X1 <- flnput(M, params)
141   # Deuxieme echantillon
142   X2 <- flnput(M, params)
143   # Run de la méthode de Sobol
144   z <- soboljansen(model = fOutput, X1 = X1, X2 = X2, nboot = 5000)
145   return(z)
146 }
147
148 z <- sobolSA(M = 10000, flnput = fSample, fOutput = fModVec, params = params)
149 #sobolSA(M = 10000, flnput = fSample, fOutput = fModVec, params = params)
150 print(z)

```

## B.2 Modèle de dimensionnement français

```

1 #####
2 setwd("/Users/tristan/_Synchro/Projets/Projets\ nationaux/DVDC/R/")
3
4 ## trois paramètres varient : SH_BB, kc et ks
5 #####
6 # p. 167 du Guide de dimensionnement
7 library(ggplot2)
8 library(latex2exp)
9
10 # nbre d'itérations
11 N=100000
12
13
14 # Trafic
15 # taux de croissance géométrique
16 r=0.07
17 #durée initiale (ans)
18 d=20
19 # CAM
20 CAM=1
21 # T MJA
22 tmja=210
23 # nbre cumulé PL pendant période
24 N=tmja*365*((1+r)^d-1)/r
25 N
26 # nbre essieux équivalent
27 NE=N*CAM
28 NE
29
30 #risque de calcul : 12 %
31 risk=0.012

```

```

32
33 #couche de surface : béton bitumineux
34 h_cs=6
35
36 #plate-forme support
37 E_ps=120
38 v_ps=0.35
39
40 #essais labos
41 E_10_BB=7200
42 E_15_BB=5400
43 eps_6_BB=150e-6
44 b=-0.2
45 SN_BB=0.25
46 v_BB=0.35
47 u_BB=-1.175
48 b_BB=-0.2
49 c_BB=0.02
50
51 eps_norm_BB=eps_6_BB*sqrt(E_10_BB/E_15_BB)*(NE/1e6)^(b_BB)
52 eps_norm_BB
53
54 #####
55 ## variation de SH ##
56 #####
57
58 k_s_BB=1
59 k_c_BB=1.1
60
61 sim1BB=data.frame(SH_BB=rnorm(N,1,0.15))
62 sim1BB$delta_BB=sqrt(SN_BB^2+(c_BB^2/b_BB^2)*sim1BB$SH_BB^2)
63 sim1BB$k_r_BB=10^(-u_BB*b_BB*sim1BB$delta_BB)
64 sim1BB$eps_BB_ad=eps_norm_BB*sim1BB$k_r_BB*k_s_BB*k_c_BB*1000000
65 summary(sim1BB$eps_BB_ad)
66
67 eps1bb=ggplot(sim1BB, aes(eps_BB_ad)) + geom_histogram(aes(y=..density..),
68 breaks=seq(min(sim1BB$eps_BB_ad), max(sim1BB$eps_BB_ad), by = .2),
69 col="#b3b3cc",
70 fill="#FF9999",
71 alpha=.4) +
72 geom_density(col="#4775d1") +
73 xlab(expression(epsilon["t,ad"])) +
74 ylab("Densité") +
75 stat_function(fun = dnorm, args = list(mean = mean(sim1BB$eps_BB_ad), sd = sd(sim1BB$eps_BB_ad)),
76 aes(colour = 'Lognormale')) +
77 ylab("Densité") +
78 ggtitle("Déformation admissible\n de la couche de surface (1e-6)",
79 subtitle=expression(paste("Variation en fonction de ",sigma[h]))) +
80 theme(legend.position='none')
81
82 ggsave(filename="epsilon_bb_sh.pdf", plot=eps1bb, width = 5.25, height = 5.25, dpi = 200)
83
84 #####
85 ## variation de ks ##
86 #####
87
88 SH_BB=1
89 k_c_BB=1.1
90
91 sim2BB=data.frame(k_s_BB=rnorm(N,1,0.15))
92 sim2BB$delta_BB=sqrt(SN_BB^2+(c_BB^2/b_BB^2)*SH_BB^2)
93 sim2BB$k_r_BB=10^(-u_BB*b_BB*sim2BB$delta_BB)
94 sim2BB$eps_BB_ad=eps_norm_BB*sim2BB$k_r_BB*sim2BB$k_s_BB*k_c_BB*1000000
95 summary(sim2BB$eps_BB_ad)
96

```

```

97 eps1bbks=ggplot(sim2BB, aes(eps_BB_ad)) + geom_histogram(aes(y =..density..),
98                                     breaks=seq(min(sim2BB$eps_BB_ad), max(sim2BB$eps_BB_ad), by = 5),
99                                     col="#b3b3cc",
100                                    fill="#FF9999",
101                                    alpha=.4) +
102   geom_density(col="#4775d1") +
103   xlab(expression(epsilon["t,ad"])) +
104   ylab("Densité") +
105   stat_function(fun = dnorm, args = list(mean = mean(sim2BB$eps_BB_ad),
106     sd = sd(sim2BB$eps_BB_ad)), aes(colour = 'Lognormale')) +
107   ylab("Densité") +
108   ggtitle("Déformation admissible\n de la couche de surface (1e-6)", subtitle=expression(paste("Variation en fonction de ",k[s]))) +
109   theme(legend.position='none')
110
111 ggsave(filename="epsilon_bb_ks.pdf", plot=eps1bbks, width = 5.25, height = 5.25, dpi = 200)
112
113 #####
114 ## variation de kc ##
115 #####
116
117 SH_BB=1
118 k_s_BB=1
119
120 sim3BB=data.frame(k_c_BB=rnorm(N,1,1,0.15))
121 sim3BB$delta_BB=sqrt(SN_BB^2+(c_BB^2/b_BB^2)*SH_BB^2)
122 sim3BB$k_r_BB=10^(-u_BB*b_BB*sim3BB$delta_BB)
123 sim3BB$eps_BB_ad=eps_norm_BB*sim3BB$k_r_BB*k_s_BB*sim3BB$k_c_BB*1000000
124 summary(sim3BB$eps_BB_ad)
125
126 eps1bbkc=ggplot(sim3BB, aes(eps_BB_ad)) + geom_histogram(aes(y =..density..),
127                                     breaks=seq(min(sim3BB$eps_BB_ad), max(sim3BB$eps_BB_ad), by = 5),
128                                     col="#b3b3cc",
129                                     fill="#FF9999",
130                                     alpha=.4) +
131   geom_density(col="#4775d1") +
132   xlab(expression(epsilon["t,ad"])) +
133   ylab("Densité") +
134   stat_function(fun = dnorm, args = list(mean = mean(sim3BB$eps_BB_ad),
135     sd = sd(sim3BB$eps_BB_ad)), aes(colour = 'Lognormale')) +
136   ylab("Densité") +
137   ggtitle("Déformation admissible\n de la couche de surface (1e-6)",
138     subtitle=expression(paste("Variation en fonction de ",k[c]))) +
139   theme(legend.position='none')
140
141 ggsave(filename="epsilon_bb_kc.pdf", plot=eps1bbkc, width = 5.25, height = 5.25, dpi = 200)
142
143 #####
144 ## variation des trois paramètres ##
145 #####
146
147 # data.frame
148 simBB=data.frame(SH_BB=rnorm(N,1,0.15),k_s_BB=rnorm(N,1,0.15),k_c_BB=rnorm(N,1,1,0.15))
149 simBB[,4]=sqrt(SN_BB^2+(c_BB^2/b_BB^2)*simBB$SH_BB^2)
150 dimnames(simBB)[[2]][4]=c("delta_BB")
151
152 simBB[,5]=10^(-u_BB*b_BB*simBB$delta_BB)
153 dimnames(simBB)[[2]][5]=c("k_r_BB")
154
155 simBB[,6]=eps_norm_BB*simBB$k_r_BB*simBB$k_s_BB*simBB$k_c_BB*1000000
156 dimnames(simBB)[[2]][6]=c("eps_BB_ad")
157
158 summary(simBB$k_s_BB)
159
160 #####
161 ## histogrammes des coefficients variants et de la déformation ##

```

```

162 #####
163
164 ##### SH
165 shbb=ggplot(simBB, aes(SH_BB)) + geom_histogram(aes(y =.density.),
166 breaks=seq(min(simBB$SH_BB), max(simBB$SH_BB), by = .05),
167 col="#b3b3cc",
168 fill="#FF9999",
169 alpha=.4) +
170 geom_density(col="#4775d1") +
171 xlab(expression(sigma["h, BB"])) +
172 ylab("Densité") +
173 stat_function(fun = dnorm, args = list(mean = mean(simBB$SH_BB), sd = sd(simBB$SH_BB)), aes(colour = 'Normale')) +
174 ylab("Densité") +
175 ggtitle("Écart-type de l'épaisseur") +
176 theme(legend.position='none')
177
178 ggsave(filename="sh-bb.pdf", plot=shbb, width = 5.25, height = 5.25, dpi = 200)
179
180 ##### ks
181 ksbb=ggplot(simBB, aes(k_s_BB)) + geom_histogram(aes(y =.density.),
182 breaks=seq(min(simBB$k_s_BB), max(simBB$k_s_BB), by = .1),
183 col="#b3b3cc",
184 fill="#FF9999",
185 alpha=.4) +
186 geom_density(col="#4775d1") +
187 xlab(expression(k["s"])) +
188 ylab("Densité") +
189 stat_function(fun = dnorm, args = list(mean = mean(simBB$k_s_BB), sd = sd(simBB$k_s_BB)), aes(colour = 'Normale')) +
190 ylab("Densité") +
191 ggtitle(expression(paste("Distribution de k["s"]))) +
192 theme(legend.position='none')
193
194 ggsave(filename="ks-bb.pdf", plot=ksbb, width = 5.25, height = 5.25, dpi = 200)
195
196 ##### ks
197 kcbb=ggplot(simBB, aes(k_c_BB)) + geom_histogram(aes(y =.density.),
198 breaks=seq(min(simBB$k_c_BB), max(simBB$k_c_BB), by = .1),
199 col="#b3b3cc",
200 fill="#FF9999",
201 alpha=.4) +
202 geom_density(col="#4775d1") +
203 xlab(expression(k["c"])) +
204 ylab("Densité") +
205 stat_function(fun = dnorm, args = list(mean = mean(simBB$k_c_BB), sd = sd(simBB$k_c_BB)), aes(colour = 'Normale')) +
206 ylab("Densité") +
207 ggtitle(expression(paste("Distribution de k["c"]))) +
208 theme(legend.position='none')
209
210 ggsave(filename="kc-bb.pdf", plot=kcbb, width = 5.25, height = 5.25, dpi = 200)
211
212 ##### déformation admissible
213 epsbb=ggplot(simBB, aes(eps_BB_ad)) + geom_histogram(aes(y =.density.),
214 breaks=seq(min(simBB$eps_BB_ad), max(simBB$eps_BB_ad), by = 10),
215 col="#b3b3cc",
216 fill="#FF9999",
217 alpha=.4) +
218 geom_density(col="#4775d1") +
219 xlab(expression(epsilon["t, ad"])) +
220 ylab("Densité") +
221 stat_function(fun = dlnorm, args = list(mean = mean(log(simBB$eps_BB_ad)),
222 sd = sd(log(simBB$eps_BB_ad))), aes(colour = 'Lognormale')) +
223 ylab("Densité") +
224 ggtitle("Déformation admissible\n de la couche de surface (1e-6)") +
225 theme(legend.position='none')
226

```

```

227 ggsave(filename="epsilon-bb.pdf", plot=epsbb, width = 5.25, height = 5.25, dpi = 200)
228
229
230 #####
231 ## Sensibilité
232 #####
233
234 moy_sh=mean(simBB$SH_BB)
235 moy_ks=mean(simBB$k_s_BB)
236 moy_kc=mean(simBB$k_c_BB)
237
238 s_sh= sqrt(var(simBB$SH_BB))
239 s_ks= sqrt(var(simBB$k_s_BB))
240 s_kc= sqrt(var(simBB$k_c_BB))
241
242
243 # vecteur de noms de variables pour le calcul symbolique et l'affichage
244 par.names <- c("sh","ks","kc")
245
246 # Valeurs moyennes + conversions d'unites
247 sh <- moy_sh
248 ks <- moy_ks
249 kc <- moy_kc
250 par.mu <- c(sh,ks,kc)
251
252 # Incertitudes type
253 sh.u <- s_sh
254 ks.u <- s_ks
255 kc.u <- s_kc
256 par.u <- c(sh.u, ks.u, kc.u)
257
258 fFunc <- fonction(x) eps_norm_BB*(10^(-u_BB*b_BB*(sqrt(SN_BB^2+(c_BB^2/b_BB^2)*x[1]^2))))*x[2]*x[3]*1000000
259
260 y <- fFunc(par.mu)
261
262 fSample <- fonction(M, params) {
263   # M : nombre de tirages a renvoyer
264   # params : liste contenant les donnees necessaires au modele
265   with(params, {
266     sh.s <- rnorm(M, mean = moy_sh, sd = s_sh)
267     ks.s <- rnorm(M, mean = moy_ks, sd = s_ks)
268     kc.s <- rnorm(M, mean = moy_kc, sd = s_kc)
269     return(cbind(sh.s, ks.s, kc.s))
270   })
271 }
272
273 fModVec <- fonction(X) apply(X, 1, fFunc)
274
275
276 # Monte Carlo version
277 K <- 1000
278
279 params <- list(sh = sh, ks=ks, kc=kc, sh.u = sh.u, ks.u=ks.u, kc.u=kc.u)
280 X <- fSample(K, params)
281 X <- data.frame(X)
282
283 Y <- fModVec(X)
284
285 # Methode de Sobol
286 library(sensitivity)
287 sobolSA <- fonction(M, flnput, fOutput, params) {
288   # Calcul des coefficients de sensibilité par la methode de Sobol
289   # Premier echantillon
290   X1 <- flnput(M, params)
291   # Deuxieme echantillon

```

```
292 X2 <- flnput(M, params)
293 # Run de la méthode de Sobol
294 z <- soboljansen(model = fOutput, X1 = X1, X2 = X2, nboot = 5000)
295 return(z)
296 }
297
298 z <- sobolSA(M = 10000, flnput = fSample, fOutput = fModVec, params = params)
299 #sobolSA(M = 10000, flnput = fSample, fOutput = fModVec, params = params)
300 print(z)
```